

## مدل ریاضی ادم ریوی

مهدی نعمت‌بخش<sup>\*</sup>، سعید جانی<sup>\*\*</sup>، محمد صادق صادقی‌پور<sup>\*</sup> و سعید نوری خراسانی<sup>\*\*\*</sup>

دانشکده پزشکی، دانشگاه علوم پزشکی اصفهان

دانشکده مهندسی مکانیک، دانشگاه صنعتی شریف

دانشکده مهندسی شیمی، دانشگاه صنعتی اصفهان

(دریافت مقاله: ۱۱/۱۸ - ۱۳۷۶ / ۱۱/۲۱ - دریافت نسخه‌هایی: ۱۳۷۷ / ۱۱/۲۱)

چکیده - ادم ریوی<sup>۱</sup> یکی از بیماریهای حاد است که در اثر به هم خوردن تبادلات مویرگی و فاکتورهای موثر در این تبادلات که مجموعاً "قانون استارلینگ" نامیده می‌شود، پدید می‌آید. هدف، ارائه مدلی ریاضی از چگونگی ایجاد ادم ریه به منظور درک بهتر و کاملتر از مکانیزم‌های درگیر با این پدیده است.

با استفاده از آناتومی و فیزیولوژی ریه، خواص پوسته حبابچه‌ای تعیین و نیروهای حاکم بر تبادلات سیالات در ریه بررسی شد. همچنین با استفاده از خواص بستر عروقی و پوسته حبابچه‌ای معادله دیفرانسیلی با مشتق‌ات جزئی غیر خطی برای تعیین فشار داخل بستر عروقی تعیین شد و با در نظر گرفتن خواص فضای میابانی مطرح شده و پمپ لنفاوی مدل ریاضی شبیه سازی شد.

نتایج حل مدل ریاضی با اعمال شرایط مشخصی روی بستر عروقی نشان می‌دهد که با افزایش فشار بستر عروقی، کاهش غلظت پروتئین بستر عروقی و همچنین با از بین رفتن دیواره داخلی عروقی شدت ادم رشد ادم رشد ادم ریوی افزایش می‌یابد. به طوری که بر حسب مقادیر مختلف فشار هیدرولستاتیک، غلظت پروتئین بستر عروقی و یا وضعیت‌های مختلف دیواره مویرگی ممکن است ادم ریه به حالت پایدار برسد یا به صورت افزاینده رشد کند تا جایی که ادم داخل حبابچه‌ای تشکیل شود و باعث از بین رفتن دیواره حبابچه شود.

## Mathematical Modelling of Pulmonary Edema

M. Nematbakhsh, S. Jani, M.S. Sadeghipoor and S. Noori-Khorasani

Medical School, Isfahan University of Medical Sciences

Department of Mechanical Engineering, Sharif University of Technology

Department of Chemical Engineering, Isfahan University of Technology

**ABSTRACT-** The excess accumulation of water in lung interstitial or alveolar is called pulmonary edema which is caused by factors that upset the normal Starling balance in micro-circulation. Pulmonary edema disturbs the alveolar gas exchanges which are normally regulated by the respiratory system. Mathematical modelling of pulmonary edema may help to predict the lung conditions and the mechanisms involved in the formation of edema .With the help of lung anatomy and physiology, the properties of alveolar sheet were determined and the Starling forces were considered during pulmonary filtration. A nonlinear partial

استادیار

دانشجوی دکترا

دانشیار

*differential equation was solved for the blood pressure in alveolar sheet. The mathematical simulation of lymphatic pumps was obtained and the process of fluid accumulation under normal and abnormal conditions was investigated. The results indicate that the rate of edema formation is strongly related to lung blood pressure, serum protein concentration, and reflection coefficient; physiological data also confirm the results from this study.*

ناگهانی و فوق العاده زیاد فضای خواهد شد [۶]. واضح است که فشار سیال میابافتی برای مقابله با تغییرات در فشار مویرگی خود را تنظیم می‌کند. از طرفی پمپ لنفی به علت وجود اختلاف فشار بین سیال میابافتی در اطراف حبابچه‌ها و اطراف برونشیولها وارد عمل می‌شود و در اثر این گرادیان فشار یک جریان لنفی از اطراف آلوئولها به طرف برونشیولها شروع می‌شود و به طور مداوم باعث تخلیه مایع اطراف حبابچه می‌شود. فشار اسمزی کلوییدی تنها پارامتر از قانون استارلینگ است که به طور مستقیم قابل اندازه‌گیری است اما این فشار به طور تجربی بر اساس غلظت پروتئین پلاسما تعیین می‌شود. فشار اسمزی کلوییدی فضای بین بافتی تابعی از سه فاکتور اصلی است. اول شدت برداشت پروتئین لنفاتیک از محیط میابافتی، دوم نشت پروتئینها از فضای مویرگی به فضای بین بافتی و نهایتاً "شدت فیلتراسیون مویرگی" است. نسبت غلظت کل پروتئین در لطف به پلاسما در فشار عروقی طبیعی حدود ۷۵٪ است. هدایت هیدرولیکی ( $K_{Fc}$ ) یا ضریب فیلتراسیون تعیین کننده شدت حرکت سیال از میان دیواره مویرگی است. این ضریب تابعی از تخلخل دیواره مویرگی و مساحت سطح مویرگی برای تبادلات است. با افزایش نشت پروتئین از دیواره مویرگی،  $K_{Fc}$  افزایش می‌یابد [۷]. شکل (۱) پدیدهٔ فیلتراسیون ریوی و فاکتورهای معادله استارلینگ را نشان می‌دهد. با افزایش بیش از حجم مایع میابافتی سیال وارد حبابچه می‌شود و حبابچه‌ها مملو از آب شده و تبادلات گازی ریوی مختل می‌شود. دلیل ترک فضای میابافتی توسط سیال و ورود به حبابچه دقیقاً "مشخص نیست اما به نظر می‌رسد که سیال به صورت یک جریان توده‌ای حبابچه را پر کند" [۸].

## ۲- مدل گردش خون ریوی

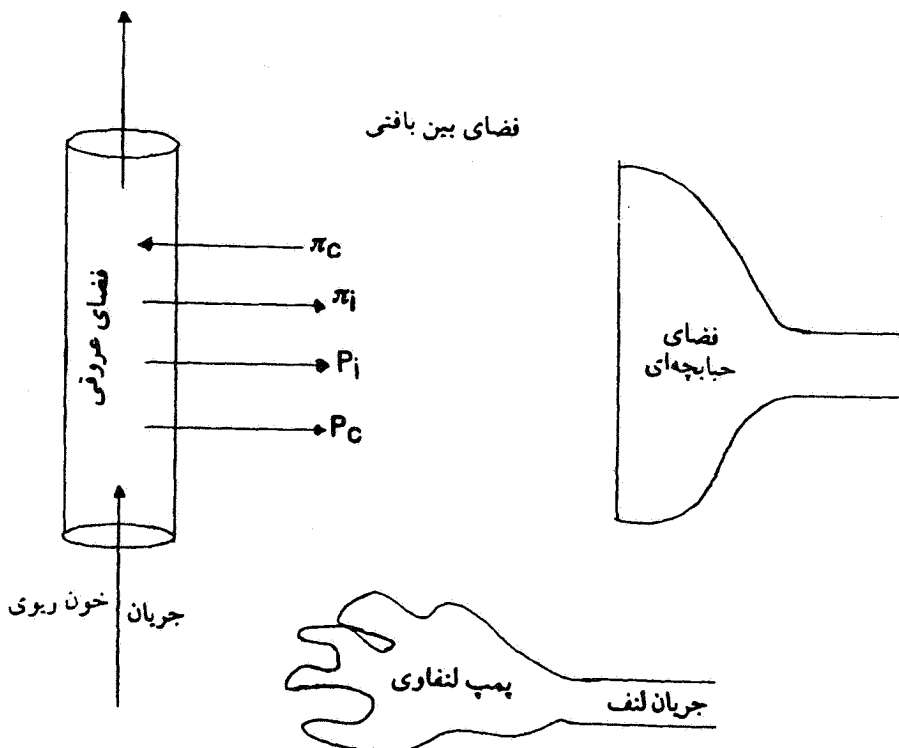
مدلسازی ادم ریوی بدون در نظر گرفتن مدل گردش خون ریوی امکان‌پذیر نیست. سیستم گردش خون ریوی در مقایسه با جریان خون محیطی یک سیستم فشار ضعیف است. در سیستم خون محیطی هنگامی که فشار خون افزایش می‌یابد مویرگها

## ۱- مقدمه

ادم ریوی یکی از بیماریهای حاد است که در اثر اختلالات تبادلات مویرگی و فاکتورهای مؤثر در این تبادلات در ریه‌ها ایجاد می‌شود. تبادلات مایع در دو سوی غشای مویرگها بر اساس قانون استارلینگ [۱] است که به طور مداوم در تمام شبکه‌های مویرگی سیستم گردش خون بزرگ و گردش خون ریوی حاکم است. گایتون و لیندنسی [۲] اولین بار با بررسیهای خود بر روی ادم ریوی دریافتند که با افزایش فشار مویرگی، تجمع آب میابافتی ریوی افزایش می‌یابد. در قانون استارلینگ نیروهای حاکم بر حرکت سیال از میان دیواره‌های مویرگی به شرح زیر است [۳]

$$J_v = K_{Fc} [(P_c - P_i) - \sigma(\pi_c - \pi_i)] \quad (1)$$

که در آن  $J_v$  دبی خالص سیال از میان دیواره‌های مویرگی،  $K_{Fc}$  هدایت هیدرولیکی غشای مبادله کننده سیال،  $P_c$  و  $P_i$  به ترتیب فشارهای هیدروستاتیک مویرگ و سیال میابافتی،  $\pi_c$  و  $\pi_i$  به ترتیب فشارهای اسمزی کلوییدی ناشی شده از پروتئینهای موجود در مویرگ و فضای میابافتی و نهایتاً  $\sigma$  ضریب انعکاس اسمزی است. چنانچه مولکولهای پروتئینی نتوانند از غشای مویرگ عبور کنند مقدار این ضریب برابر با ۱ و چنانچه غشا نسبت به این مولکولها آزادانه نفوذپذیر باشند  $\sigma$  برابر با صفر خواهد بود. فشار هیدروستاتیک در مویرگهای ریوی  $P_c$  تابعی از مقاومتهای شریانهای کوچک و وریدهای کوچک است [۴]. فشار هیدروستاتیک مویرگ تمایل به راندن سیال از مویرگ به داخل فضای بین بافتی دارد و عامل اصلی تجمع سیال در بافت ریه است و توسط روش‌هایی قابل اندازه‌گیری است [۵]. فشار هیدروستاتیک منفی میابافتی همچنین نیروی موافق با ورود مایع از مویرگ به فضای بافتی است. فشار منفی میابافتی با افزایش از حدود ۵-۵+ حدود ۵+ سانتیمتر آب باعث افزایش حجم فضای میابافتی می‌شود اما فشار بیشتر از حدود ۵+ سانتیمتر آب منجر به افزایش



شکل ۱- پدیده فیلتراسیون ریوی.  $P_i$  و  $P_C$  به ترتیب فشارهای هیدروستاتیک در مویرگ ریوی و فضای بین بافتی،  $\pi_i$  و  $\pi_C$  به ترتیب فشار اسمزی کلوییدی در پلاسمما و مایع فضای بین بافتی است (فشار هیدروستاتیک فضای بین بافتی منفی است). برایند نیروهای استارلینک متناسب با میزان فیلتراسیون است.

$$J_v \propto [(P_C - P_i) - (\pi_C - \pi_i)]$$

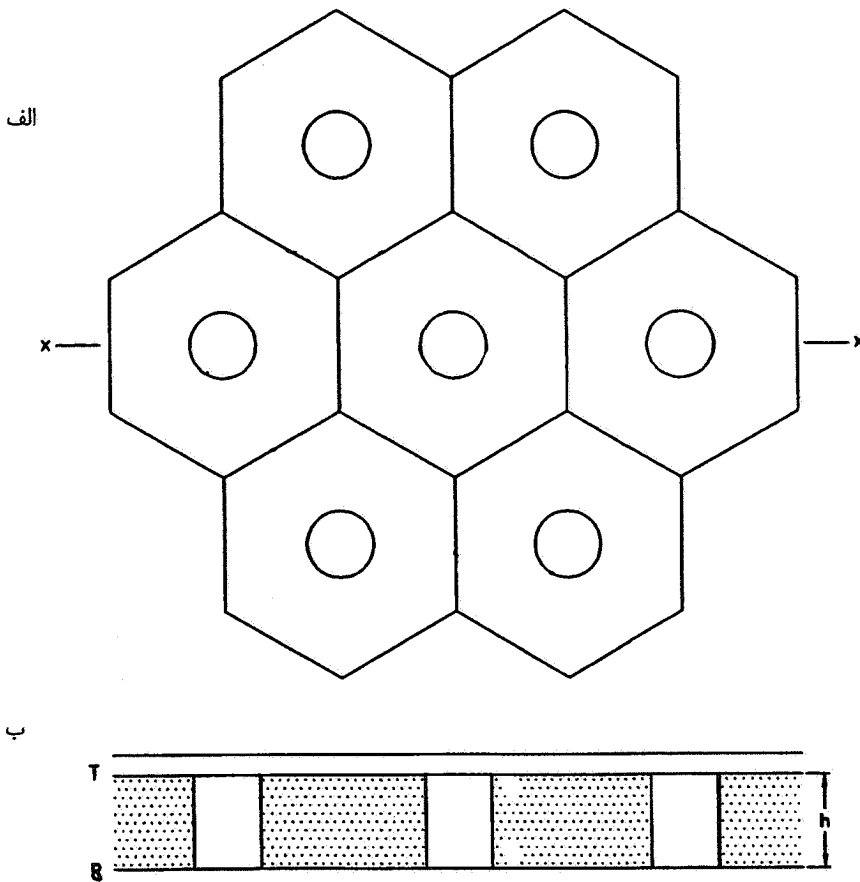
پمپ لنفی برای جلوگیری از ورود مایع به حبابچه، مایع فیلتره شده را وارد لنف می‌کند.

فوائل مساوی از هم جدا نگه داشته می‌شود بررسی قرارداد که در این مقاله برای مدلسازی ادم ریوی از مدل سایین استفاده شده است، شکل (۲). در شکل (۲-الف) یک پوسته با اندازه‌های منظم نشان داده شده است. صفحه را می‌توان به شبکه‌های شش ضلعی همراه با پستهای دایره‌ای در مرکز هر شش ضلعی تقسیم کرد. این مدل جریان صفحه‌ای با سه پارامتر مشخص می‌شود، آنکه طول هر ضلع شش ضلعی،  $h$ : ارتفاع یا ضخامت پوسته و  $\alpha$ : قطر پسته. نسبت بافت به فضای عروقی ( $V_{str}$ ) به صورت نسبت حجم حفره عروقی به حجمهای محیطی تعریف می‌شود که در آن حجم محیطی حجمی است که فیما بین سطح  $T$  و  $B$  در شکل (۲-ب) مشاهده می‌شود

$$V_{str} = \frac{A - A_s}{A}$$

معمولًا "تغییر قطر نمی‌دهند اما مویرگهای ریوی کاملاً" انعطاف پذیر شده و می‌توان گفت ضخامت پوسته مویرگی با فشار به صورت خطی تغییر می‌کند [۹]. تبدلات مایعی و در حقیقت انجام معادله استارلینگ در مویرگها به وقوع می‌یابند. مویرگها تشکیل یک شبکه به هم پوسته را می‌دهند که هر شبکه در دیواره حبابچه یک پوسته  $\alpha$  نامیده می‌شود. این پوسته‌ها در پارانشیم ریه به یکدیگر می‌یوندند.

ریخت شناسی شبکه مویرگی ریه توسط ویبل [۱۰] و سایین [۱۱] مطالعه شده است. ویبل شبکه مویرگی را به صورت یک سری لوله‌های استوانه‌ای مرتبط با یکدیگر در نظر گرفت در حالی که سایین فضای عروقی را به صورت پوسته ای از سیال که بین دو غشا جریان می‌یابد و این دو غشا توسط تعدادی از پسته‌ای به



شکل ۲ - مدل جریان پوسته‌ای   الف : نمای بالا   ب : سطح مقطع

ضخامت  $h$  با اختلاف فشار (فشار هیدروستاتیک مویرگ - فشار هوای حبابچه) به شرح زیر تغییر می‌کند

$$V_{str} = 1 - \frac{\pi}{6\sqrt{3}} \frac{e^2}{L^2} \quad (2)$$

$$h = h_0 + \alpha \Delta P \text{ when } \Delta P > 0.$$

$$\Delta P = P - Palv. \quad (3)$$

$$h = 0 \text{ when } \Delta p \leq 0.$$

که در آن  $P$  فشار هیدروستاتیک خون و  $Palv$  فشار هوای حبابچه است. فانگ و سایین [۱۲] با در نظر گرفتن المان مریعی کوچکی از حبابچه و در فاصله زمانی  $dt$  و با استفاده از معادله پیوستگی تغییرات  $h$  رادر یک المان مریعی کوچکی از حبابچه با مؤلفه‌های متوسط سرعت  $U$  و  $V$  به شرح زیر ارائه کردند

بنابراین :

$$* V_{str} \times \text{سطح پوسته} \times \text{ضخامت پوسته}$$

است که با توجه به عدم تغییرات زیاد  $V_{str}$  می‌توان کشسانی مویرگ را به ضخامت و مساحت محدود کرد و چنین عنوان شود که

$$\frac{\partial \rho h U}{\partial x} + \frac{\partial \rho h V}{\partial y} = -\rho \frac{\partial h}{\partial t} - 2K_{Fc}(P - P^*) \quad (10)$$

با در نظر گرفتن معادلات (۳)، (۴)، (۵) و (۱۰) و در صورت خیلی زیاد نبودن تغییرات  $h$  می‌توان  $F$  و  $K$  را ثابت فرض کرد لذا

$$\left( \frac{\partial^2}{\partial x^2} + \frac{\partial^2}{\partial y^2} \right) h^* \quad (11)$$

$$= 4\mu K_F \alpha \left[ \frac{\partial h}{\partial t} + \frac{2}{\rho \alpha} K_{Fc}(h - h^*) \right] \quad (12)$$

که در آن :

$$h^* = h_0 + \alpha(P^* - P_{alv}) \quad (12)$$

و مقدار  $K = 8$  است.

### ۳- مدلسازی

در این مدلسازی پوسته حبابچه‌ای را در نظر می‌گیریم و فرض می‌شود که به ۴۰۰ مریع المان بندی شود. همچنین فرض شده است که از مرکز صفحه در بالا بر آرتیول متصل است و طول اتصال آن ۱۰ طول کل پوسته باشد و در پایین از مرکز به ونول متصل است که برای آن نیز طول اتصال ۱۰ طول کل پوسته است. کناره‌های پوسته به غیر از مکانهایی که پوسته به آرتیول و ونول متصل است را به عنوان خط جریان فرض می‌کنیم در نتیجه

$$\frac{\partial P}{\partial n} = 0 \Rightarrow \frac{\partial h}{\partial n} = 0$$

ابعاد و شرایط مرزی مدل در شکل (۳) نشان داده شده است. همچنین مقادیر طبیعی پارامترهای استفاده شده در مدل در جدول (۱) ارائه شده است.

برای حل پاسخهای گذاری سیستم معادلات حاکم نیاز به شرط اولیه سیستم داریم. شرط اولیه حاکم بر ریه در حقیقت پاسخ پایدار سیستم معادلات حاکم است. از معادلات (۱۱) و (۱۲) داریم

$$\frac{\partial^2 h^*}{\partial x^2} + \frac{\partial^2 h^*}{\partial y^2} = \beta \frac{\partial h}{\partial t} + \epsilon_1(h - h^*) \quad (13)$$

که در آن  $\beta = 0.1$  با توجه به شرایط مدل از معادلات زیر به دست می‌آیند

$$= \text{دبی جرمی حاصل} \left[ \frac{\partial \rho h U}{\partial x} + \frac{\partial \rho h V}{\partial y} \right] dx dy dt$$

$$= \left[ \rho h U + \frac{\partial \rho h U}{\partial x} dx \right] dy dt - \rho h U dy dt$$

$$+ \left[ \rho h V + \frac{\partial \rho h V}{\partial y} dy \right] dx dt - \rho h V dx dt$$

از طرفی رابطه بین گرادیان فشار متوسط محلی و سرعت عبارت اند از

$$\frac{\partial P}{\partial x} = -\frac{\mu U}{h^*} K F_x \quad (4)$$

$$\frac{\partial P}{\partial y} = -\frac{\mu V}{h^*} K F_y \quad (5)$$

که در آن  $K$  تابعی از عرض پوسته و  $h$  است و  $F_x$  و  $F_y$  ضریب اصطکاک هندسی در جهات  $x$  و  $y$  است.

در حالت پایداریون سیستم که تغییراتی در جریان سیستم رخ نمی‌دهد

$$\frac{\partial \rho h U}{\partial x} + \frac{\partial \rho h V}{\partial y} = 0 \quad (6)$$

اما در حالت ناپایدار، جریان خالص  $U$  باید با تغییر گذرا در ضخامت  $h$  و فیلتراسیون مایع از سر دیواره آندوتلیوم برابر باشد. افزایش حجم پوسته از معادله

$$\frac{\partial h}{\partial t} dx dy dt \quad (7)$$

و انتقال مایع از میان غشا از قانون استارلینگ تبعیت می‌کند، معادله (۱)

$$J_v = M^* = K_{Fc} (\Delta p - \sigma \Delta \pi) \quad (8)$$

یا

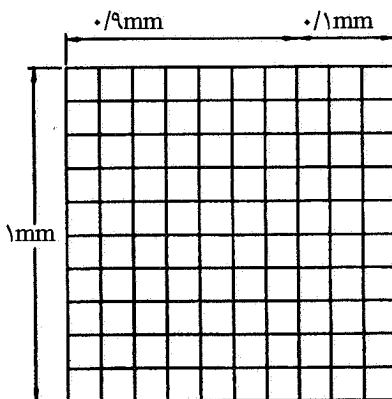
$$M^* = K_{Fc} (P - P^*) \quad (9)$$

$$P^* = \sigma \Delta \pi + P_i$$

بنابراین :

جدول ۱ - مقادیر پارامترهای استفاده شده در مدل

ردیف	پارامتر	مقدار	مرجع
۱	$P_{alv}$	۵ cm H <sub>2</sub> O	[۱۴]
۲	$P_{art}$	۱۰ cm H <sub>2</sub> O	[۱۴]
۳	$P_{ven}$	۵ cm H <sub>2</sub> O	[۱۴]
۴	$h$	۴/۲۸ $\mu m$	[۱۴]
۵	$\pi_i$	۲۰ mmHg	[۱۴]
۶	$\pi_C$	۳۲/۳۳۳ mmHg	[۱۴]
۷	$\sigma$	۰/۷۵	[۱۴]
۸	$\alpha$	۰/۲۱۹ $\mu m/cm H_2O$	[۱۴]
۹	$K_{Fc}$	۰/۲۶ ml/(min-100 gr-mmHg)	[۱۵]
۱۰	$\mu$	۰/۰۷۹۷ Poise	[۱۶]
۱۱	$\rho$	۱۱۳۳ Kg/m <sup>3</sup>	[۱۶]
۱۲	$V_{str}$	۰/۹۱۷۸	[۱۵]
۱۳	A	۳۸ m <sup>2</sup>	[۱۳]



شکل ۳ - ابعاد و شرایط مرزی مدل

$$\frac{\partial^2 h^*}{\partial x^2} + \frac{\partial^2 h^*}{\partial y^2} = \varepsilon_1(h-h^*) \quad (14) \quad \varepsilon_1 = \frac{\lambda K K_{Fc} F \mu}{\rho} V_{str} = 1/4 \times 10^{-6} \mu m$$

برای حل معادله (۱۴) ابتدا به معرفی پارامترهای بی بعد پرداخته و به کمک آنها آن را بی بعد می کنیم .

در نتیجه معادله دیفرانسیل حاکم برای تعیین شرایط اولیه به شرح

زیر است

$$H = \frac{h}{h_{art}} \quad X = \frac{x}{L} \quad Y = \frac{y}{L} \quad T = \left[ \frac{\beta L}{h_{art}} \right]^{-1}$$

مقدار آن برای نقاط مختلف در پوسته ریوی شکل (۳) از حل معادله دیفرانسیل با مشتقهای جزئی، معادله (۱۷) در هر گام زمانی در تمام نقاط مختلف پوسته معلوم می‌شود. در نتیجه  $P_c$  را با  $P_{i,n+1}$  نشان می‌دهیم.  $P_i$  فشار فضای میانبافتی است که مقدار آن با زمان تغییر می‌کند و آن را با  $P_{i,n}$  نشان می‌دهیم.  $\pi_i$  فشار اسمزی کلوییدی فضای میانبافتی است که مقدار آن با زمان تغییر می‌کند و آن را با  $\pi_{i,n}$  نشان می‌دهیم. مقدار  $\pi_{i,n}$  تابعی از حجم میانبافتی است. با استفاده از داده‌های موجود ارتباط بین حجم فشار میانبافتی به شرح زیر است

$$P_{i,n+1} = -17/59 - 0/577V_{i,n} + 0/076V_{i,n}^2$$

$$-0/00265V_{i,n}^3 + 0/0000404V_{i,n}^4 \quad (19)$$

که در آن  $V_{i,n}$  مقدار حجم فضای میانبافتی در گام زمانی  $n$  است. معادله غلظت پروتینهای فضای میانبافتی  $\pi_i$  و فشار اسمزی کلوییدی فضای میانبافتی به علت اثرات دونان خطی نبوده و معادله آن را می‌توان به شرح زیر نوشت [۱۸]:

$$\pi_i = 2/1 C_i + 0/16C_i^2 + 0/009C_i^3 \quad (20)$$

که در آن  $C_i$  غلظت پروتین فضای میانبافتی و بر حسب گرم در دسی لیتر است و  $\pi_i$  فشار اسمزی کلوییدی فضای میانبافتی و بر حسب میلیمتر جیوه است. اما تغییرات حجم فضای میانبافتی برابر با

$$\frac{\partial V_i}{\partial T} = Q_L - Q_P \quad (21)$$

است که در آن  $Q_L$  مایع ورودی به فضای میانبافتی است و  $Q_P$  دبی لنف تخلیه شده توسط سیستم لنفاویک است که مقدار آن وابسته به فشار فضای میانبافتی است. تخلیه از راه سیستم لنفاوی مهمترین روش ثبات حجم مایع میانبافتی است. رگهای لنفاویک اگر به طور پیوسته سیال و به خصوص پروتینهای تجمع یافته در فضای بین بافتی را تخلیه نکنند ادم ریوی به سرعت تشکیل می‌شود و این فرایند به خاطر تجمع پروتین و بدنبال آن افزایش آب میانبافتی است. گذرگاههای عریضی بین سلولهای آندوتیال لنفاویک اجازه

در نتیجه معادله دیفرانسیل حاکم بی بعد برای تعیین شرایط اولیه به شرح زیر است.

$$\frac{\partial^2 H^*}{\partial X^2} + \frac{\partial^2 H^*}{\partial Y^2} = \gamma (H - H^*) \quad (15)$$

که در آن:

$$\gamma = \frac{\varepsilon I^2}{h_{art}^3} = 1/012 \times 10^{-3}$$

شرایط مرزی بی بعد برای معادله (۱۵) عبارت است از:

$$0 \leq X \leq 0/1 \quad 0/1 \leq X \leq 1 \quad \Rightarrow \frac{\partial H}{\partial Y} = 0 \\ Y = 0 \quad Y = 0$$

$$0 \leq X \leq 0/1 \quad 0/1 \leq X \leq 1 \quad \Rightarrow \frac{\partial H}{\partial Y} = 0 \\ Y = 1 \quad Y = 1$$

$$0 \leq Y \leq 1 \quad 0 \leq Y \leq 1 \quad \Rightarrow \frac{\partial H}{\partial X} = 0 \\ X = 0 \quad X = 1$$

(۱۶)

حل معادله (۱۵) از روش عددی و با استفاده از روش ریختمیر [۱۷] انجام شد. پاسخهای حاصل از این معادله مقادیر اولیه برای معادله دیفرانسیل (۱۳) گذرا خواهد بود که با استفاده از متغیرهای بی بعد معرفی شده قبلی خواهیم داشت

$$\frac{\partial H}{\partial T} = \frac{\partial^2 H^*}{\partial X^2} + \frac{\partial^2 H^*}{\partial Y^2} - \gamma (H - H^*) \quad (17)$$

که با روش عددی حل شد. حال مهمترین معادله حاکم بر تبادل سیال بین فضای عروقی و فضای میانبافتی، معادله استارلینگ است که به تفصیل هر یک از جمله‌های آن را بررسی کردیم. بنابر این می‌توان نوشت

$$Q_L = \iint K_{Fc} [(P_c - P_i) - \sigma (\pi_c - \pi_i)] dx dy \quad (18)$$

$\sigma$  ضریب انعکاس است که با زمان و مکان در ناحیه پوسته ریوی تغییر نمی‌کند و مقدار آنها در طول فرایند تشکیل ادم ریوی ثابت فرض می‌شود.  $P_c$  فشار هیدرولستاتیک فضای عروقی است که

را با استفاده از داده شرایط اولیه به دست می آوریم . برای تغییرات غلظت پروتین فضای میانبافتی با استفاده از بقای جرم می توان نوشت

$$\frac{\partial}{\partial T} (V_i C_i) = Q_{sc} - C_i Q_p \quad (24)$$

که در این معادله  $C_i Q_p$  دبی تخلیه پروتینهای پمپ لنفاتیک و  $Q_{sc}$  دبی پروتین ورودی به فضای میانبافتی است.  
از معادله بالا می توان نوشت:

$$C_i \frac{\partial V_i}{\partial T} + V_i \frac{\partial C_i}{\partial T} = Q_{sc} - C_i Q_p \quad (25)$$

با استفاده از معادله (21) و جایگذاری در معادله (25) داریم

$$V_i \frac{\partial C_i}{\partial T} = Q_{sc} - C_i Q_L \quad (26)$$

نهایتاً سیستم مجموعه معادلات حاکم بر تبادل سیال و پروتین بین فضای میانبافتی و عروقی شامل معادلات (17)، (1)، (3)، (18)، (21)، (22)، (19)، (23)، (26) و (20) خواهند بود. برای حل همزمان این سیستم معادلات از روش عددی استفاده شد [19].  
نتیجه حل معادله (17) برای معادله (3) که فرم گستته آن و دیگر معادلات حاکم بر سیستم به شرح زیر استفاده شد.

عبور آزادانه پروتینها را با همان سرعت سیال بر سیستم لنفاوی می دهد. به هر حال پمپ لنفاتیک تابعی از فشار فضای میانبافتی بوده و با استفاده از داده های تجربی در این زمینه می توان سیستم لنفاوی را به سه حالت تقسیم کرد

$$\frac{Q_p - Q_p^o}{Q_p^o} = 2(P_i - P_i^o) \quad P_i \leq 0 \text{ mmHg}$$

$$\frac{Q_p - Q_p^o}{Q_p^o} = v(P_i - P_i^o) \quad 0 < P_i \leq 1 \text{ mmHg}$$

$$\frac{Q_p - Q_p^o}{Q_p^o} = 21 \quad P_i \geq 1 \text{ mmHg} \quad (22)$$

که در آن  $Q_p^o$  مقدار دبی پمپ تخلیه لنف در زمان صفر است.  
مقدار پروتینهای ورودی به فضای میانبافتی از طریق منافذ موجود در دیواره مویرگ و از طریق اختلاف غلظت دو طرف جدار صورت می گیرد. در نتیجه دبی پروتین ورودی به فضای میانبافتی را می توانیم به صورت زیر بنویسیم

$$Q_{sc} = \iint [W_s (\pi_c - \pi_i) + (1 - \sigma) Cl + J_v] dx dy \quad (23)$$

که در این معادله  $Cl$  غلظت متوسط در طرف غشاست و برابر  $W_s (\pi_i + C_i) / 2$  است و

معادله	$\frac{\partial}{\partial T} P_{c,i,j,n+1} = P_{alv} + \frac{H_{i,j,n+1} h_{art} - h}{\alpha}$
۱۹)	$P_{i,n+1} = -17/59 - 0/577V_{i,n} + 0/076V_{i,n}^r - 0/00265V_{i,n}^r + 0/0000404V_{i,n}^r$
۲۰)	$\pi_{i,n+1} = 2/1C_{i,n} + 0/16C_{i,n}^r + 0/009C_{i,n}^r$
۱۸)	$Q_{L,n+1} = \sum \sum K_{Fc} [(P_{c,i,j,n+1} - P_{i,n+1}) - \sigma(\pi_c - \pi_{i,n+1})] \Delta x \Delta y$
۱)	$J_{L,n+1} = K_{Fc} [(P_{c,i,j,n+1} - P_{i,n+1}) - \sigma(\pi_c - \pi_{i,n+1})]$
۲۳)	$Q_{sc,n+1} = \sum \sum [W_s (\pi_c - \pi_{i,n+1}) + (1 - \sigma) C_{i,n} + J_{v,n+1}] \Delta x \Delta y$
	$Q_p^o + 2Q_p^o (P_{i,n+1} - P_i^o) \quad P_{i,n+1} \leq 0 \text{ mmhg}$
۲۲)	$Q_{p,n+1} = Q_p^o + vQ_p^o (P_{i,n+1} - P_i^o) \quad 0 \leq P_{i,n+1} \leq 1 \text{ mmhg}$
	$Q_p^o + 21Q_p^o \quad P_{i,n+1} \geq 1 \text{ mmhg}$
۲۱)	$V_{i,n+1} = V_{i,n} + (Q_{L,n+1} - Q_{p,n+1}) \delta T$
۲۶)	$C_{i,n+1} = C_{i,n} + (Q_{sc,n+1} - C_{i,n} Q_{L,n+1}) \frac{\delta T}{V_{i,n+1}}$

جدول ۲ - مقادیر پارامترهای معادله استارلینگ در بدترین شرایط

$P_{art} = 40 \text{ cmH}_2\text{O}$	$\pi_c = 16 \text{ mmHg}$
$P_{ven} = 35 \text{ cmH}_2\text{O}$	$\pi_i = 20 \text{ mmHg}$
$P_{alv} = 5 \text{ cmH}_2\text{O}$	$\sigma = 0.01$

#### ۴- نتایج و بحث

به منظور بررسی شدت تأثیر هریک از عوامل فشار هیدروستاتیک، فشار اسمزی کلوییدی و غشای مویرگی (که مستقیم به ضریب انعکاس برمی‌گردد) ریه را در حالت طبیعی و بدترین شرایط در نظر گرفتیم. اطلاعات لازم در حالت طبیعی در جدول (۱) ارائه شد و در حالت غیر طبیعی که بدترین شرایط آن زمانی است که فشار اسمزی کلوییدی به حداقل و فشار هیدروستاتیک به حداکثر و غشای دیواره مویرگی تقریباً "فاقد کارایی باشد در این صورت مقادیر جدول (۲) به دست خواهد آمد. شکلهای (۴) تا (۹) تغییرات غلظت پروتئینها و فشار فضای میانبافتی، تغییرات جریان لف و جریان پمپ لنفتاتیک، جریان پروتئین ورودی و تغییرات حجم فضای میانبافتی را نشان می‌دهند. هنگامی که فشار آرتریول برابر حداقل مقدار یعنی ۴۰ سانتیمتر آب و فشار اسمزی کلوییدی پروتئین فضای بستر عروقی حداقل باشد بدون توجه به مقدار ضریب انعکاس، ادم ریوی کنترل ناپذیر بوده و حتی در زمانهای دور (۰-۸۰ ثانیه) نیز متوقف نشده و در نهایت حجم فضای میانبافتی پس از رسیدن به ۱۷۵ درصد مقدار اولیه خود موجب تشکیل ادم داخل حبابچه ای خواهد شد. بنابراین در این وضعیت برای تمام مقادیر ضریب انعکاس، ادم داخل حبابچه‌ای تشکیل می‌شود. حال اگر فشار اسمزی کلوییدی به حالت نرمال برگردد یعنی برابر ۳۳ میلیمتر جیوه شود آن گاه مشاهده می‌کنیم که برای بعضی از مقادیر ضریب انعکاس، رشد ادم متوقف شده و وضعیت ریه به حالت تعادل جدیدی می‌رسد، به طوری که برای ضریب انعکاس  $6/0$  به بالا ریه به حالت تعادل خواهد رسید و برای  $\sigma = 0/075$  به بالا حتی ادم داخل حبابچه‌ای تشکیل نمی‌شود و وضعیت ریه قابل برگشت به حالت اولیه است. در وضعیت نزدیکتری به حالت فیزیولوژیک یعنی حالتی که فشار هیدروستاتیک ۲۰ سانتیمتر آب و فشار اسمزی کلوییدی حالت فیزیولوژیک ۳۳ میلیمتر جیوه باشد نه تنها وضعیت ریه به حالت

شرایط اولیه و مقادیر ضرایب را برای این سیستم معادلات به شرح زیر محاسبه می‌شود

برای ریه طبیعی و حالت پایدار در معادله (۱۵)، توزیع H صخامت پوسته در حالت بی بعد و در تمام نقاط پوسته به دست آمد در این حالت مقادیر همچنین فشارهای بستر عروقی و فشارهای استارلینگ در جدول (۱) آمده است.

با این مقادیر شرایط اولیه و ضرایب ثابت سیستم معادلات حاکم بر فضای میانبافتی از معادله (۳-۲۷)

$$P_{c,i,j} = P_{alv} + \frac{H_{i,j} \cdot h_{art} - h}{\alpha}$$

دست داشتن فشار میانبافتی ( $P_{i,j} = -5 \text{ mmHg}$ ) و با استفاده از معادله (۱۹) و با سعی و خطابه مقدار  $V_{i,j}$  و با مقدار اولیه فشار اسمزی کلوییدی میانبافتی  $C_{i,j} = 6/34598 \text{ g}/100 \text{ ml}$  غلظت اولیه پروتئین میانبافتی (۲۰) به می‌رسیم. مقدار  $\pi$  در طول کل زمان ثابت است. از معادله (۱۸-۲۷) جریان مایع ورودی به فضای بین بافتی محاسبه می‌شود

$$Q_{p,0} = Q_{L,0} = 0/19938 \frac{\text{ml}}{\text{min} \cdot 100 \text{ gr}}$$

از معادله ۲۶

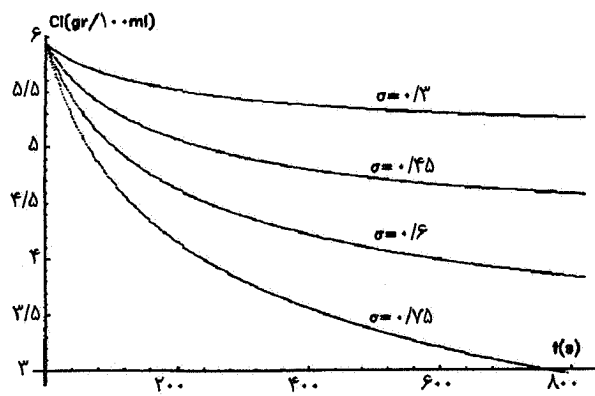
$$\frac{\partial C_{i,j}}{\partial T} = 0 \quad Q_{sc,0} = C_{i,j} \cdot Q_{L,0} = 0/01265 \frac{\text{g}}{\text{min} \cdot 100 \text{ gr}}$$

و نهایتاً "بر اساس معادله ۲۳

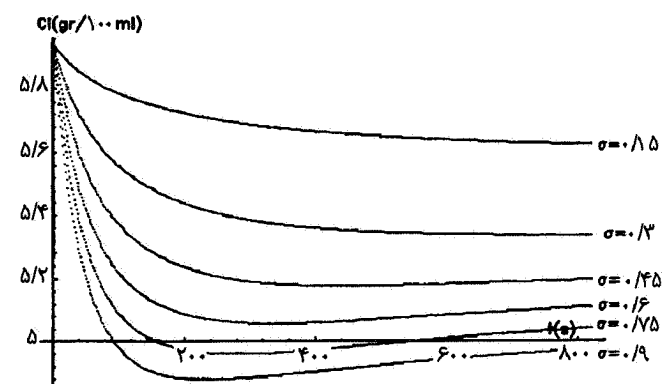
$$W_{sc} = \frac{Q_{sc,0} - (1 - \sigma) \sum \sum C_{i,j} J_v \Delta x \Delta y}{\sum \sum (\pi_c - \pi_i) \Delta x \Delta y}$$

$$W_{sc} = 6/592 \cdot 10^4 \frac{\text{g}/(\text{min} \cdot 100 \text{ gr})}{\text{mmHg} - \text{mm}^2}$$

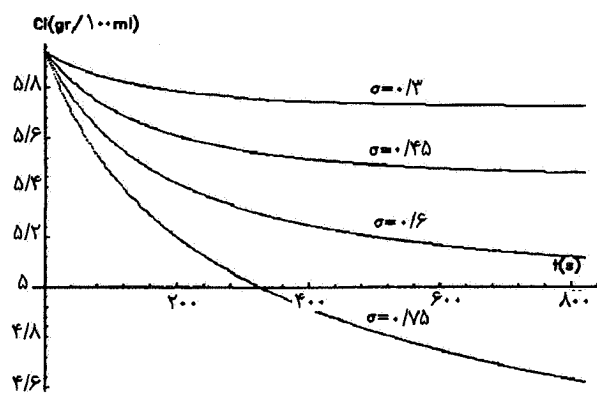
حال با مقادیر اولیه فوق الذکر و سیستم معادلات ۲۷ و ۱۷ برنامه رایانه‌ای برای حل معادلات به طریق عددی انجام شد.



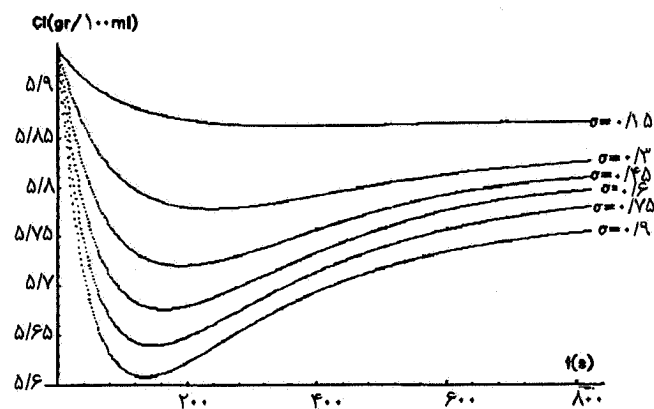
ب



الف



د



ج

شکل ۴ - تغییرات غلظت پروتئین فضای میانبافتی بر حسب زمان و ضریب انعکاس

الف :  $\pi_c = 24/28 \text{ mmHg}$  به ترتیب برابر با ۴۰ و ۳۵ و ۵ ساتیمتراپ و  $P_{alv}, P_{ven}, P_{art}$

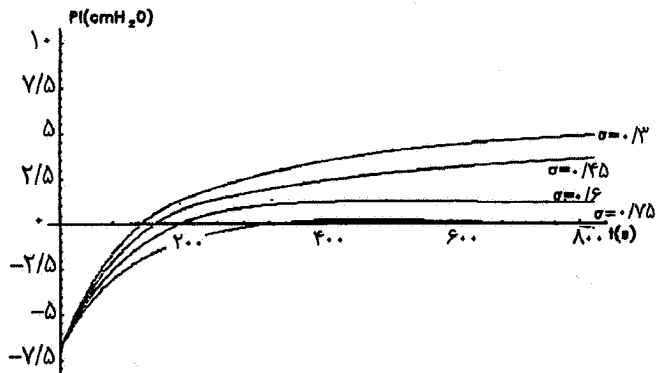
ب :  $\pi_c = 33/33 \text{ mmHg}$  به ترتیب برابر با ۴۰ و ۳۵ و ۵ ساتیمتراپ و  $P_{alv}, P_{ven}, P_{art}$

ج :  $\pi_c = 24/28 \text{ mmHg}$  به ترتیب برابر با ۲۰ و ۱۵ و ۵ ساتیمتراپ و  $P_{alv}, P_{ven}, P_{art}$

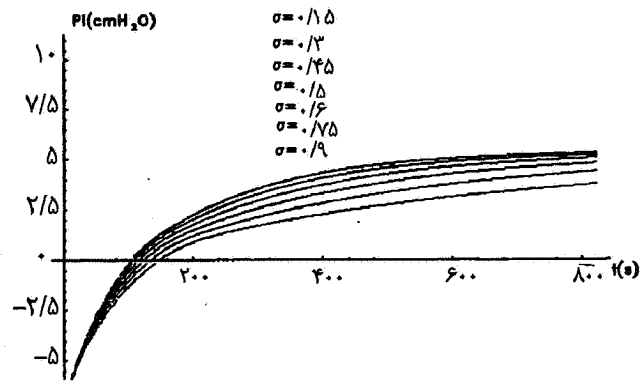
د :  $\pi_c = 33/33 \text{ mmHg}$  به ترتیب برابر با ۲۰ و ۱۵ و ۵ ساتیمتراپ و  $P_{alv}, P_{ven}, P_{art}$

حالات به حالت تعادل نیز نمی‌رسد. مسئله‌ای که باید به آن توجه کرد آن است که هر چقدر ضریب انعکاس بیشتر باشد یعنی وضعیت دیواره مویرگی نرمال باشد تغییرات غلظت پروتئینهای فضای میانبافتی بیشتر است. این موضوع را می‌توان این‌طور تفسیر کرد که هر چقدر  $\sigma$  بیشتر باشد آن‌گاه عبور پروتئین‌های فضای میانبافتی کاهش می‌یابد و فقط سیال است که به فضای میانبافتی راه می‌یابد و در نتیجه حجم سیالی که وارد فضای میانبافتی می‌شود به مراتب

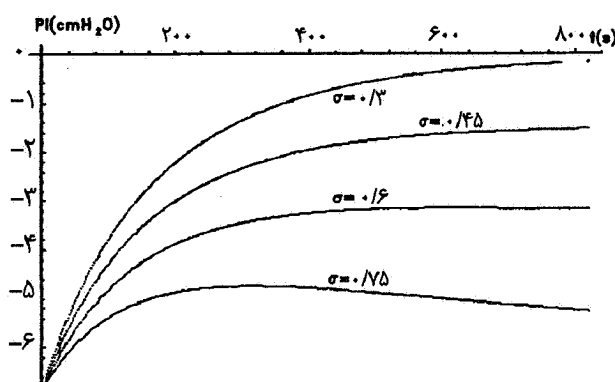
پایداری می‌رسد، بلکه به هیچ عنوان ادم داخل حبابچه تشکیل نمی‌شود. برای تمام مقادیر فشار هیدروستاتیکی هنگامی که فشار اسمزی کلوییدی فضای میانبافتی کاهش می‌یابد تغییرات غلظت پروتئینهای فضای میانبافتی خیلی کم است و به سرعت به مقدار حالت پایدار خود می‌رسد. اما برای حالتی که فشار اسمزی کلوییدی بستر عروقی مقدار فیزیولوژیک خود را دارد، کاهش غلظت پروتئین فضای میانبافتی خیلی زیاد بوده و در بسیاری از



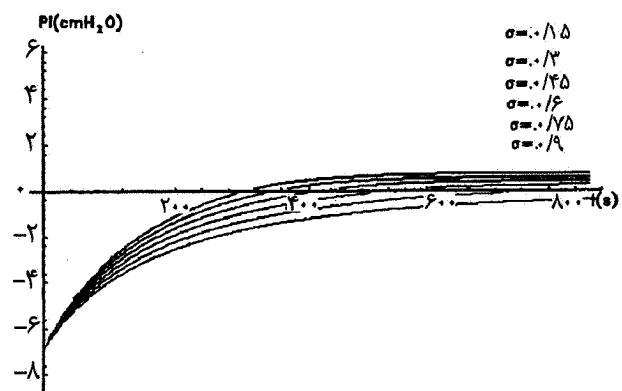
ب



الف



د



ج

شکل ۵ - تغییرات فشار فضای میانبافتی بر حسب زمان و ضریب انعکاس

الف :  $P_{alv}, P_{ven}, P_{art}$  به ترتیب برابر با ۴۰ و ۳۵ و ۵ سانتیمتر آب و  $\pi_c = ۲۴/۲۸ \text{ mmHg}$

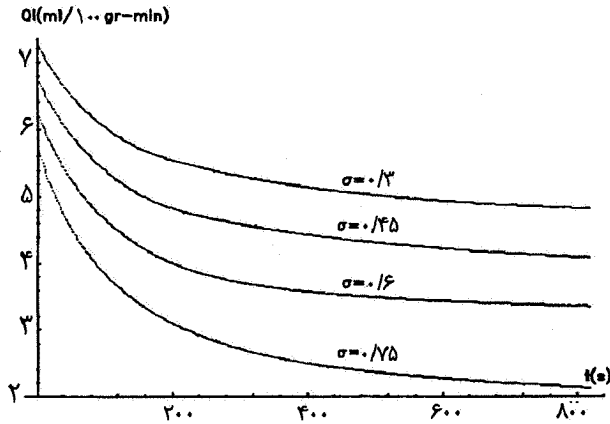
ب :  $P_{alv}, P_{ven}, P_{art}$  به ترتیب برابر با ۴۰ و ۳۵ و ۵ سانتیمتر آب و  $\pi_c = ۳۳/۳۳ \text{ mmHg}$

ج :  $P_{alv}, P_{ven}, P_{art}$  به ترتیب برابر با ۲۰ و ۱۵ و ۵ سانتیمتر آب و  $\pi_c = ۲۴/۲۸ \text{ mmHg}$

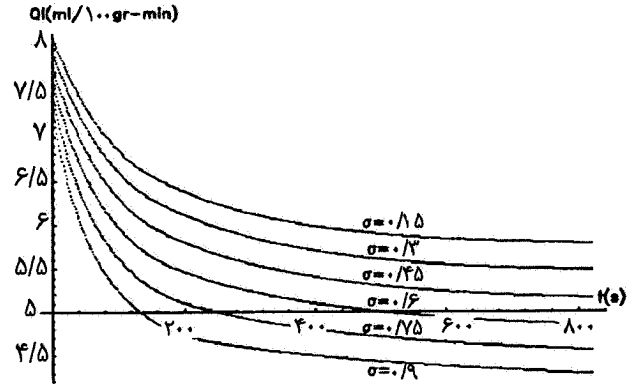
د :  $P_{alv}, P_{ven}, P_{art}$  به ترتیب برابر با ۲۰ و ۱۵ و ۵ سانتیمتر آب و  $\pi_c = ۳۳/۳۳ \text{ mmHg}$

پاتولوژیک مقداری از مایع که وارد راههای هوایی می‌شود تخلیه شده اما این راه غربال پروتینهای نیست [۲۲]. برای حالتی که تنها فشار هیدروستاتیک افزایش می‌یابد فاکتورهای اینمی افزایش خواهند. یافته زیرا کاهش غلظت پروتین بیشتر است. بنابراین از دید فاکتور اینمی اثر افزایش فشار هیدروستاتیک مشابه با اثر کاهش غلظت پروتین بستر عروقی نبوده بلکه مخالف با آن عمل می‌کند. در ارتباط با ضریب انعکاس می‌توان گفت هرچقدر ضریب انعکاس بیشتر شود فاکتور اینمی نیز بیشتر خواهد شد.

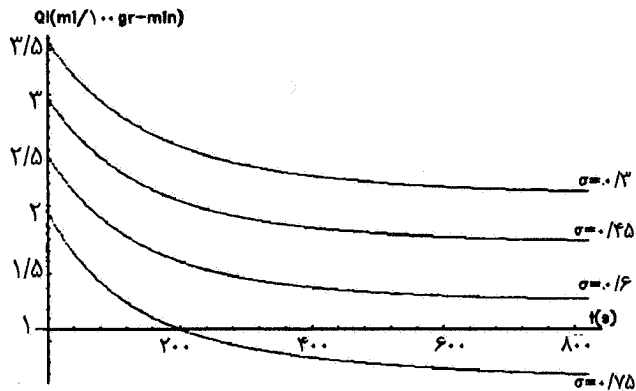
بیشتر از پروتین است واز طرفی پروتینهای موجود در فضای میانبافتی مدام در حال تخلیه توسط پمپ لنفاوی اند [۲۱، ۲۰] و بنابراین غلظت پروتینهای فضای میانبافتی به شدت کاهش می‌یابد. یکی از فاکتورهای اینمی در ادم ریوی کاهش غلظت پروتینهای فضای میانبافتی است. می‌توان گفت در حالتی که غلظت پروتینهای بستر عروقی کاهش می‌یابد نه تنها روند ادم شدیدتر می‌شود بلکه فاکتور اینمی نیز از بین می‌رود زیرا کاهش غلظت پروتین فضای میانبافتی بسیار ناچیز است. البته در شرایط



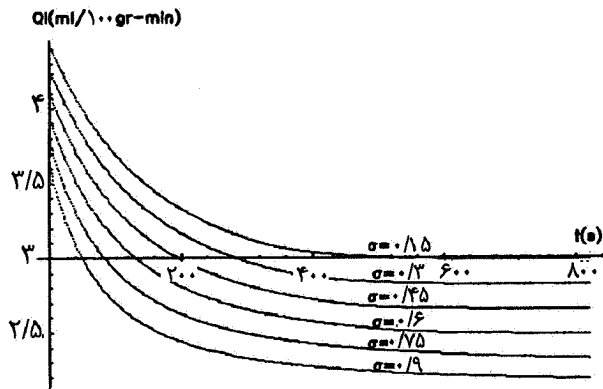
ب



الف



د



ج

شکل ۶ - تغییرات جریان لف بر حسب زمان و ضریب انعکاس

الف :  $\pi_c = 24/28 \text{ mmHg}$  به ترتیب برابر با ۴۰ و ۳۵ و ۵ ساتیمتراپ و  $P_{alv}, P_{ven}, P_{art}$

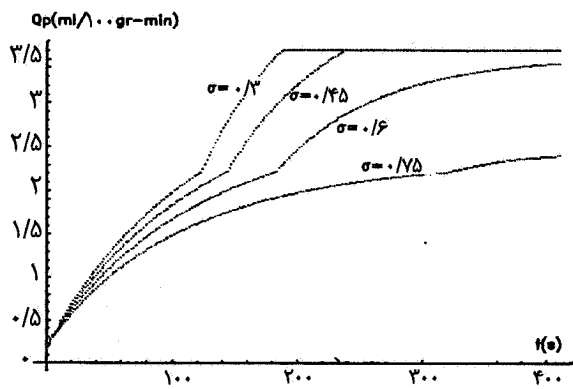
ب :  $\pi_c = 33/33 \text{ mmHg}$  به ترتیب برابر با ۴۰ و ۳۵ و ۵ ساتیمتراپ و  $P_{alv}, P_{ven}, P_{art}$

ج :  $\pi_c = 24/28 \text{ mmHg}$  به ترتیب برابر با ۲۰ و ۱۵ و ۵ ساتیمتراپ و  $P_{alv}, P_{ven}, P_{art}$

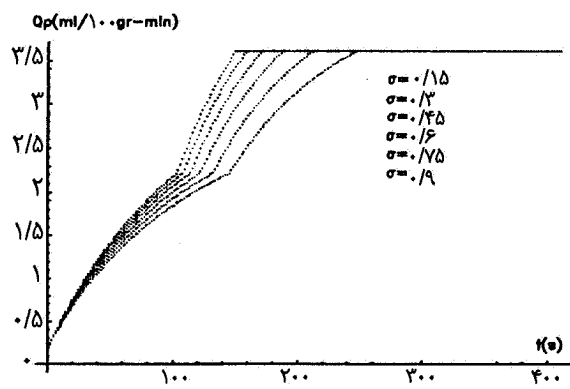
د :  $\pi_c = 33/33 \text{ mmHg}$  به ترتیب برابر با ۲۰ و ۱۵ و ۵ ساتیمتراپ و  $P_{alv}, P_{ven}, P_{art}$

فشار فضای میانبافتی افزایش خواهد یافت. به طوری که در بعضی از حالات به مقدار پایداری نمی‌رسد و مدام در حال افزایش است. یکی دیگر از پارامترهای فاکتور اینمنی در ادم ریوی افزایش فشار فضای میانبافتی است. به طوری که هر چقدر فشار فضای میانبافتی قابلیت افزایش بیشتر داشته باشد ، افزایش فاکتور اینمنی نیز بیشتر زیاد می‌شود . در ارتباط با فاکتور اینمنی می‌توان گفت افزایش فشار

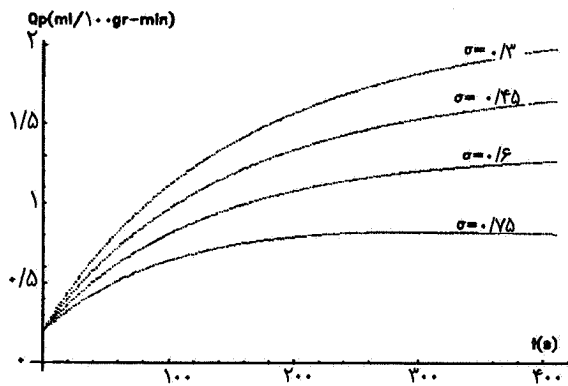
فشار فضای میانبافتی با فشار آرتریول رابطه مستقیم دارد به طوری که هر چقدر فشار آرتریول بیشتر باشد مقدار فشار فضای میانبافتی نیز بیشتر خواهد بود. فشار فضای میانبافتی در حالت فیزیولوژیک منفی است اما در حالت ادم به مقادیر مثبت نیز افزایش می‌یابد. با کاهش غلظت پروتئینهای فضای میانبافتی، افزایش فشار فضای میانبافتی بیشتر می‌شود. همچنین اگر ضریب انعکاس کاهش یابد



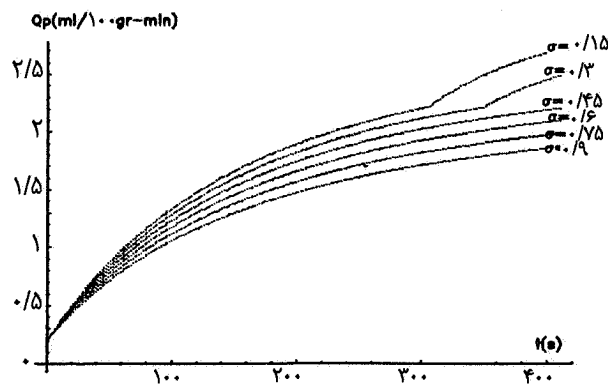
ب



الف



د



ج

شکل ۷- تغییرات جریان پمپ لنفاتیک بر حسب زمان و ضریب انعکاس

الف :  $\pi_C = 24/28 \text{ mmHg}$ ,  $P_{\text{alv}}, P_{\text{ven}}, P_{\text{art}}$  به ترتیب برابر با ۴۰ و ۳۵ و ۵ ساتیمترااب و

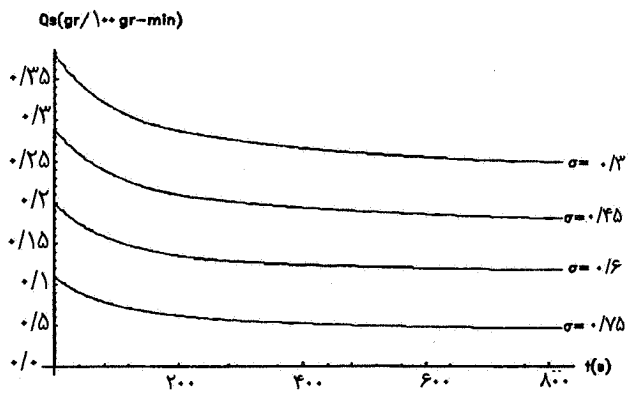
ب :  $\pi_C = 32/32 \text{ mmHg}$ ,  $P_{\text{alv}}, P_{\text{ven}}, P_{\text{art}}$  به ترتیب برابر با ۴۰ و ۳۵ و ۵ ساتیمترااب و

ج :  $\pi_C = 24/28 \text{ mmHg}$ ,  $P_{\text{alv}}, P_{\text{ven}}, P_{\text{art}}$  به ترتیب برابر با ۲۰ و ۱۵ و ۵ ساتیمترااب و

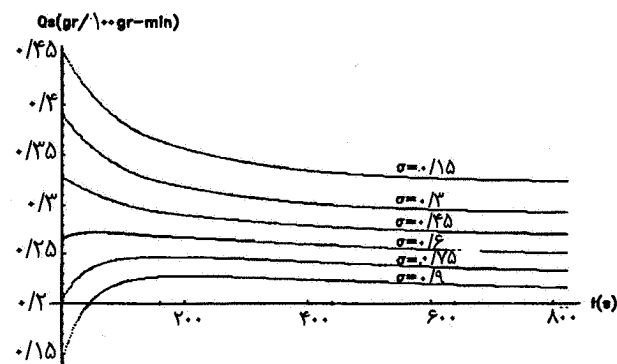
د :  $\pi_C = 32/32 \text{ mmHg}$ ,  $P_{\text{alv}}, P_{\text{ven}}, P_{\text{art}}$  به ترتیب برابر با ۲۰ و ۱۵ و ۵ ساتیمترااب و

منجمله فشار هیدروستاتیکی فضای عروقی و میانبافتی و فشار اسمزی کلوییدی فضای عروقی و میانبافتی و همچنین ضریب انعکاس و ضریب فیلتراسیون است . مقدار جریان لنف ورودی به فضای میانبافتی در تمام حالات به مقدار نهایی و یا به حالت تعادل می‌رسد . مقدار دبی جریان لنف رد حالت اولیه است . برای مقدار نهایی آن هرچقدر فشار

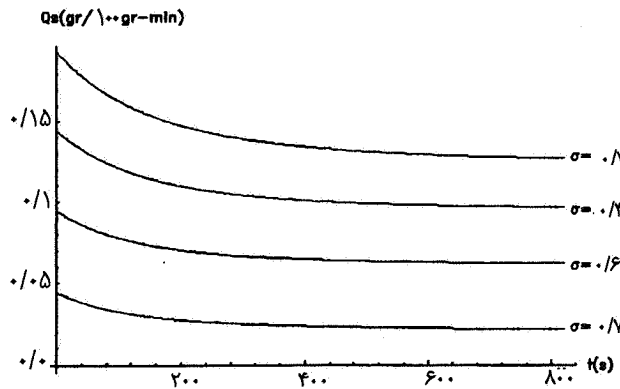
هیدروستاتیک بستر عروقی با افزایش فاکتور ایمنی در ارتباط است و همچنین هر چقدر فشار اسمزی کلوییدی بستر عروقی کاهش می‌یابد فاکتور ایمنی افزایش می‌یابد . به عبارت دیگر هر چه فضای میانبافتی تحمل افزایش مایع را داشته باشد فاکتور ایمنی زیادتر می‌شود . دبی جریان لنف ورودی به فضای میانبافتی که از قانون استارلینگ به دست می‌آید و حاصل تداخل چندین عامل مختلف



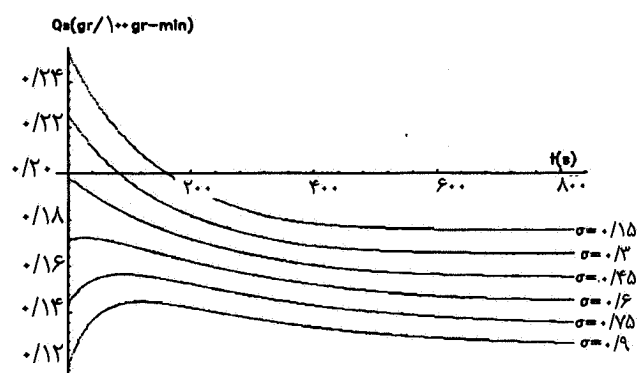
ب



الف



د



ج

شکل ۸ - تغییرات جریان پروتئین ورودی به فضای میانبافتی بر حسب زمان و ضریب انعکاس

الف :  $P_{\text{alv}}, P_{\text{ven}}, P_{\text{art}}$  به ترتیب برابر با ۴۰ و ۳۵ و ۵ سانتیمتر آب و  $\pi_c = ۲۴/۲۸ \text{ mmHg}$

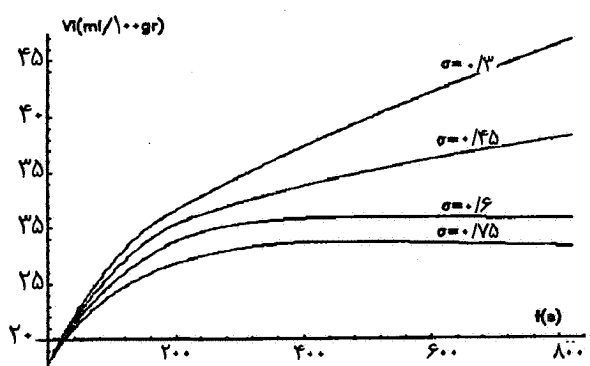
ب :  $P_{\text{alv}}, P_{\text{ven}}, P_{\text{art}}$  به ترتیب برابر با ۴۰ و ۳۵ و ۵ سانتیمتر آب و  $\pi_c = ۳۳/۳۳ \text{ mmHg}$

ج :  $P_{\text{alv}}, P_{\text{ven}}, P_{\text{art}}$  به ترتیب برابر با ۲۰ و ۱۵ و ۵ سانتیمتر آب و  $\pi_c = ۲۴/۲۸ \text{ mmHg}$

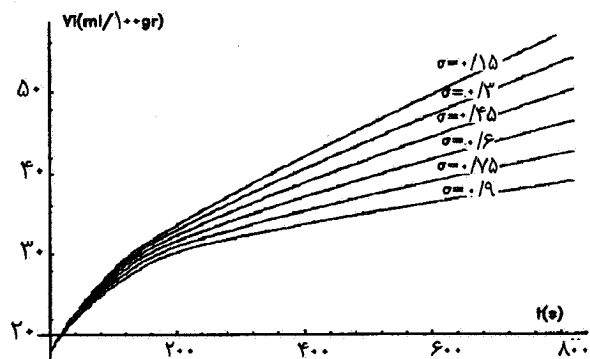
د :  $P_{\text{alv}}, P_{\text{ven}}, P_{\text{art}}$  به ترتیب برابر با ۲۰ و ۱۵ و ۵ سانتیمتر آب و  $\pi_c = ۳۳/۳۳ \text{ mmHg}$

هیدروستاتیک بستر عروقی سرعت رشد جریان پمپ لنفاوی بسیار زیادتر می‌شود و در زمانهای اولیه به مقدار نهایی خود می‌رسد و هر چقدر این فشار کاهش می‌یابد جریان لنف نیز کاهش می‌یابد به طوری که شاید به مقدار نهایی خود نیز نرسد. اگر فشار اسمزی کلوییدی بستر عروقی کاهش یابد دبی جریان پمپ لنفاوی به شدت افزایش می‌یابد به طوری که اثر افزایش آن از اثر افزایش فشار

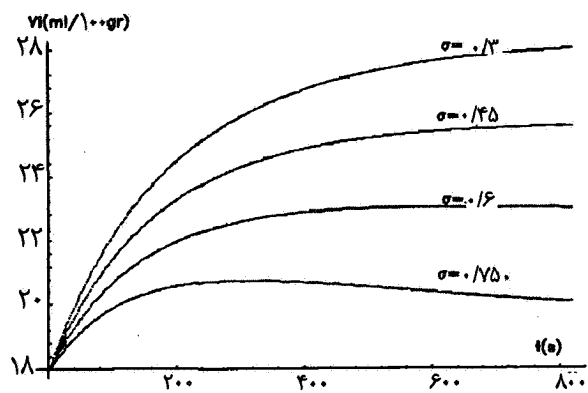
هیدروستاتیک بستر عروقی بیشتر باشد دبی جریان لنف ورودی به فضای میانبافتی بیشتر است و هر چقدر فشار اسمزی کلوییدی بستر عروقی کاهش یابد نیز دبی جریان لنف افزایش می‌یابد. همچنین با افزایش ضریب انعکاس مقدار دبی جریان لنف کاهش می‌یابد. دبی پمپ لنفاوی برای تمام شرایط مرزی در نهایت به بیست برابر مقدار اولیه خود افزایش می‌یابد. با افزایش فشار



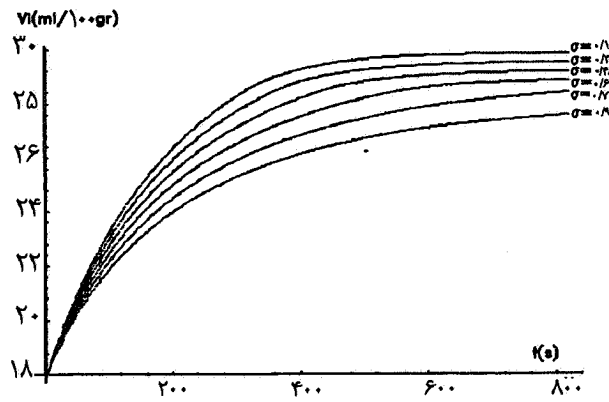
ب



الف



د



ج

شکل ۹ - تغییرات حجم فضای میانبافتی بر حسب زمان و ضریب انعکاس

الف :  $\pi_C = 24/28 \text{ mmHg}$ ,  $P_{alv}$ ,  $P_{ven}$ ,  $P_{part}$  به ترتیب برابر با ۴۰ و ۳۵ و ۵ ساتیمترآب و

ب :  $\pi_C = 32/33 \text{ mmHg}$ ,  $P_{alv}$ ,  $P_{ven}$ ,  $P_{part}$  به ترتیب برابر با ۴۰ و ۳۵ و ۵ ساتیمترآب و

ج :  $\pi_C = 24/28 \text{ mmHg}$ ,  $P_{alv}$ ,  $P_{ven}$ ,  $P_{part}$  به ترتیب برابر با ۲۰ و ۱۵ و ۵ ساتیمترآب و

د :  $\pi_C = 32/33 \text{ mmHg}$ ,  $P_{alv}$ ,  $P_{ven}$ ,  $P_{part}$  به ترتیب برابر با ۲۰ و ۱۵ و ۵ ساتیمترآب و

می‌شوند و می‌توان گفت هر چقدر فشار هیدروستاتیک بالا می‌رود دبی جریان پروتئین ورودی به فضای میانبافتی افزایش می‌یابد. این جریان پروتئین با کاهش فشار اسمزی کلوییدی فضای بستر عروقی به شدت افزایش و بالاگذشت. ضریب انعکاس دبی کاهش می‌یابد. نهایتاً این مدل می‌توان تغییرات فاکتورهای درگیر و نقش ویژه آنها را در چگونگی وقوع ادم ریوی تحلیل کرد.

هیدروستاتیک بیشتر خواهد بود. با کاهش ضریب انعکاس نیز جریان پمپ لنفاوی نیز افزایش می‌یابد. با وجود این افزایش مشاهده می‌شود در بعضی حالات ادم داخل حبابچهای نیز تشکیل می‌شود. پروتئین‌های فضای میانبافتی در اثر دو عامل وارد فضای میانبافتی می‌شوند. یکی آنکه همواره با جریان لنف به داخل فضای میانبافتی راه می‌یابند و دیگرینکه از طریق اختلاف فشار اسمزی کلوییدی دو سوی غشای مویرگی به داخل فضای میانبافتی وارد

## تشکر و قدر دانی

بدین وسیله از همکاری آقای مهندس سعید سعیدبخش و  
سرکار خانم نسرین جمدی و سرکار خانم روشنک رضوانی

## مراجع

1. Starling, E.H., "On the Absorption of Fluid from the Connective Tissue Space," *J. Physiology* (London), Vol. 19, pp. 312-326, 1896.
2. Guyton, A.C., and Lindsey, A.E., "Effect of Elevated Left Atrial Pressure and Decreased Plasma Protein Concentration on the Development of Pulmonary Edema," *Circ. Res.*, Vol. 7, pp. 649-657, 1959.
3. Guyton, A.C., "A Concept of Negative Interstitial Pressure Based on Pressure in Implanted Perforated Capsules," *Circ. Res.*, Vol. 12, pp. 399-414, 1963.
4. Gaar, K.A., Taylor, A.E., Owens, L.J., and Guyton, A.C., "Pulmonary Capillary Pressure and Filtration Coefficient in the Isolated Perfused Lung," *Am. J. Physiology*, Vol. 213, pp. 910-914, 1967.
5. Holloways, H., Perry, M., Downey, J.M., Parker, J.C., and Taylor, A.E., "Estimation of Effective Pulmonary Capillary Pressure in Intact Lung," *J. Appl. Physiology*, Vol. 54, pp. 846-851, 1983.
6. Parker, J.C., Guyton, A.C., and Taylor, A.E., "Pulmonary Interstitial and Capillary Pressure Estimated from Interstitial Alveolar Fluid Pressure," *J. Appl. Physiology*, Vol. 44, pp. 267-276, 1978.
7. Rippe, B., Parker, J., and Taylor, A.E., "Effects of Reduced Plasma Protein on Capillary Pressure in Isolated Dog Lungs," *J. Appl. Physiology*, Vol. 26, pp. A8, 1985.
8. Gee, M.H., and Staub, N.C., "Role of Bulk Fluid Flow and Protein Permeability of Dog Lung Alveolar Membrane," *J. Appl. Physiology*, Vol. 42, pp. 144-149, 1977.
9. Sabin, S.S., Fung, Y.C., Tremer, H.m., and Rosenquist, T.H., "Elasticity of the Pulmonary Alveolar Microvascular Sheet in the Cat," *Circ. Res.*, Vol. 30, pp. 440-450, 1972.
10. Weible, E.R., *Morphometry of the Human Lung*, pp. 38-128, Academic press, New York, 1963.
11. Sabin, S.S., Tremer, H.M., and Fung, Y.C., "The Morphometric Basis of the Sheet-Flow Concept of the Pulmonary Alveolar Microcirculation in the Cat," *Circ. Res.*, Vol. 26, pp. 397-414, 1970.
12. Fung, Y.C., and Sobbin, S.s., "Theory of Sheet Flow in Lung Alveoli," *J. Appl. Physiology*, Vol. 26, pp. 472-488, 1969.
13. Goldberg, H.S., "Pulmonary Interstitial Compliance and Filtration Coefficient," *Am. J. Physiology*, Vol. 239, pp. H189-H198, 1980.
14. West, J.B., *Bioengineering Aspects of the Lung*, pp. 268-357, Marcel Dekker, New York, 1977.
15. Staub, N.C., *Lung Water and Solute Exchange*, 1st ed., pp. 423-435, Marcel Dekker, New York, 1978.
16. Mazumdar, J.N., *Biofluid Mechanics*, 1st ed. pp. 10-38, World Scientific, New Jersey, 1992.
17. Richt Myer, R.D., and Morton, K.W., *Difference Method for Initial-Value Problem*, P. 52-141, Interscience Publisher, New York, 1967.
18. Webster, H.L., "Colloid Osmotic Pressure: Theoretical Aspect and Background," *Clinics in Perinatology*, Vol. 9, pp. 505-521.1982.
19. جانی س. شبیه سازی ریاضی ادم ریوی. پایان نامه کارشناسی ارشد دانشگاه صنعتی شریف، ۱۳۷۵.
20. Drake, R.E., and Gabel, J.C., "Pulmonary Edema Fluid Clearance Pathways," *News in Physiology Sciences*(NIPS), Vol. 10, pp. 107-111. 1995.
21. Khimenko, P.I., Barnard, J.W., Moore, T.M., Wilson, P.S., Ballard, S.T., and Taylor, A.E., "Vascular Permeability and Epithelial Transport Effect in Lung Edema Formation in Ischemia and Reperfusion," *J. Appl. Physiology*, Vol. 77, pp. 116-1121, 1994.
22. Matthay, M.A., "Function of the Alveolar Epithelial Barrier under Pathologic Conditions," *Chest*, Vol. 105 Suppl., pp. 67S-74S, 1994.